

УДК 539.3: 534.1

А. В. Елагин, И. А. Моисеенко

**АНАЛИЗ ВТОРЫХ ГАРМОНИК НОРМАЛЬНЫХ ВОЛН КРУЧЕНИЯ
В ЗАКРЕПЛЕННОМ ТРАНСВЕРСАЛЬНО-ИЗОТРОПНОМ ЦИЛИНДРЕ:
МОДЕЛЬ УЧЕТА ГЕОМЕТРИЧЕСКОЙ НЕЛИНЕЙНОСТИ**

В статье представлены результаты теоретического численно-аналитического исследования свойств нелинейных вторых гармоник, генерируемых при распространении монохроматических осесимметричных нормальных упругих волн кручения вдоль осевого направления в трансверсально-изотропном цилиндре кругового сечения с закрепленной боковой поверхностью. Для цилиндров из титаната бария, титаната-цирконата свинца и монокристаллического цинка проведен частотный параметрический анализ амплитуд и форм волновых движений во вторых гармониках для нормальных волн исследуемого типа. Описан ряд закономерностей, свойственных рассматриваемому типу волновых процессов.

Ключевые слова: трансверсально-изотропный цилиндрический волновод, геометрическая нелинейность, монохроматические нормальные крутильные волны, нелинейные ангармонические возмущения, амплитудно-частотные характеристики вторых гармоник.

Анализ нелинейных ангармонических эффектов при распространении волн деформаций остается актуальной фундаментальной и прикладной научной проблемой с обширным рядом в различной мере изученных аспектов [1–7]. К исследованным в наименьшей мере относятся задачи описания нелинейных ангармонических возмущений в полях нормальных упругих волн, распространяющихся вдоль волноводов пространственной геометрии [8–13]. В частности, анализ свойств нелинейных вторых гармоник для уединенных монохроматических нормальных волн в цилиндрических волноводах реализован только для случаев осесимметричных крутильных и продольно-сдвиговых волн в изотропных круговых цилиндрах с несколькими типами краевых условий на боковой поверхности. В этих исследованиях использовалась модель геометрически и физически нелинейного деформирования с использованием потенциала Мурнагана и теории конечных деформаций [14–19].

В данной работе исследованы характеристики малых нелинейных ангармонических эффектов при распространении монохроматических осесимметричных нормальных волн кручения в цилиндрических волноводах распространены на случай модели геометрически нелинейного волнового деформирования трансверсально-изотропных цилиндров.

Постановка задачи. Рассматривается протяженный трансверсально-изотропный цилиндр кругового сечения с радиусом R , занимающий область

$$V = \{0 \leq r \leq 1, 0 \leq \theta \leq 2\pi, -\infty < z < \infty\} = \left\{ \sqrt{x_1^2 + x_2^2} \leq 1, -\infty < x_3 < \infty \right\}$$

в отнесенных к нормирующему параметру $R_* \equiv R$ безразмерных цилиндрических $O_{r\theta z}$ и прямоугольных $O_{x_1 x_2 x_3}$ координатах. Для описания волнового динамического деформирования цилиндра из материала с

осью упругой симметрии, ориентированной вдоль координатной оси O_z , используется модель, основанная на тензорном представлении упругого потенциала U с квадратичными членами по деформациям ε_{jq} вида

$U = (c_{jqpk} \varepsilon_{jq} \varepsilon_{pk})/2$ в прямоугольных координатах $O_{x_1 x_2 x_3}$, на выражениях для механических напряжений на основных площадках этих координат $\sigma_{jd} = \partial U / \partial u_{j,d}$ и тензорных нелинейных соотношениях

для конечных деформаций $\varepsilon_{jq} = (u_{j,q} + u_{q,j} + u_{l,q} u_{l,j})/2$, в которых $u_{j,q} = \partial u_j / \partial u_q$, u_j ($j = \overline{1,3}$) – компоненты вектора волновых упругих перемещений в прямоугольных координатах. Компоненты вектора перемещений u_j ($j = \overline{1,3}$) и u_α ($\alpha = r, \theta, z$) соответственно в прямоугольных и цилиндрических координатах считаются безразмерными, отнесенными к нормирующему параметру u_* с линейной размерностью, имеющему вид $u_* = \max_{\{r, \theta, z, t, \alpha\}} |\check{u}_\alpha(r, \theta, z, t)|$. Отношение введенных нормирующих параметров

$\delta = u_*/R_*$ в рамках гипотезы о малости исследуемых нелинейных волновых эффектов [1–4] интерпретируется как малый параметр $\delta \ll 1$. Полагается также, что рассматриваемые далее компоненты тензора

упругих постоянних матеріала циліндра c_{ij} і динамічні напруження $\sigma_{jd} = \partial U / \partial u_{j,d}$ являються безрозмірними характеристиками, отнесеними к нормуючому параметру c_* .

В рамках приймаємої методології для компонентів вектора хвильових переміщень u_α ($\alpha = r, \theta, z$) вводяться представлення $u_\alpha = u_\alpha^{(l)} + \delta u_\alpha^{(n)}$, включаючі лінійні складові $u_\alpha^{(l)}$ і нелінійні ангармонічні порушення $u_\alpha^{(n)}$. Вирази для компонентів тензора динамічних напружень $\sigma_{\alpha\beta}(u_\alpha)$ на основних площадках циліндричної системи координат, що відповідають такому варіанту представлення u_α , приймають форму сумм лінійних і квадратичних членів по степеням параметра δ

$$\sigma_{\alpha\beta}(u_\alpha) = \sigma_{\alpha\beta}^{(l)}(u_\alpha^{(l)})\delta + \left(\sigma_{\alpha\beta}^{(l)}(u_\alpha^{(n)}) + \sigma_{\alpha\beta}^{(n)}(u_\alpha^{(l)}) \right) \delta^2 \quad (\alpha, \beta = r, \theta, z),$$

а входять в ці представлення характеристики симетричних тензорів $\sigma_{\alpha\beta}^{(l)}(u_\alpha^{(q)})$ ($q = l, n$) і $\sigma_{\alpha\beta}^{(n)}(u_\alpha^{(l)})$ в рамках розглядаємої моделі для випадку осесиметричного геометрично нелінійного деформування трансверсально-ізотропного циліндра мають вид

$$\begin{aligned} \sigma_{rr}^{(l)}(u_\alpha^{(q)}) &= c_{13}\partial_z u_z^{(q)} + c_{12}r^{-1}u_r^{(q)} + c_{11}\partial_r u_r^{(q)}, \quad \sigma_{r\theta}^{(l)}(u_\alpha^{(q)}) = \frac{1}{2}(c_{11} - c_{12})(\partial_r u_\theta^{(q)} - r^{-1}u_\theta^{(q)}), \\ \sigma_{rz}^{(l)}(u_\alpha^{(q)}) &= c_{44}\partial_z u_r^{(q)} + c_{44}\partial_r u_z^{(q)}, \quad \sigma_{\theta z}^{(l)}(u_\alpha^{(q)}) = c_{44}\partial_z u_\theta^{(q)}, \\ \sigma_{\theta r}^{(l)}(u_\alpha^{(q)}) &= \frac{1}{2}(c_{11} - c_{12})(\partial_r u_\theta^{(q)} - r^{-1}u_\theta^{(q)}), \quad \sigma_{zr}^{(l)}(u_\alpha^{(q)}) = c_{44}\partial_z u_r^{(q)} + c_{44}\partial_r u_z^{(q)}, \\ \sigma_{z\theta}^{(l)}(u_\alpha^{(q)}) &= c_{44}\partial_z u_\theta^{(q)}, \quad \sigma_{zz}^{(l)}(u_\alpha^{(q)}) = c_{33}\partial_z u_z^{(q)} + c_{13}r^{-1}u_r^{(q)} + c_{13}\partial_r u_r^{(q)} \quad (q = l, n); \quad (1) \\ \sigma_{rr}^{(n)}(u_\alpha^{(l)}) &= \frac{1}{2} \left(c_{13}(\partial_z u_z^{(l)})^2 + c_{11}(\partial_z u_r^{(l)})^2 + c_{12}r^{-2}(u_r^{(l)})^2 + c_{12}(\partial_z u_\theta^{(l)})^2 + \right. \\ &+ c_{11}r^{-2}(u_\theta^{(l)})^2 + 2c_{44}\partial_z u_r^{(l)}\partial_r u_z^{(l)} + (c_{13} + 2c_{44})(\partial_r u_z^{(l)})^2 + 2c_{13}\partial_z u_z^{(l)}\partial_r u_r^{(l)} + \\ &+ 2c_{12}r^{-1}u_r^{(l)}\partial_r u_r^{(l)} + 3c_{11}(\partial_r u_r^{(l)})^2 - (c_{11} + c_{12})r^{-1}u_\theta^{(l)}\partial_r u_\theta^{(l)} + c_{11}(\partial_r u_\theta^{(l)})^2 \left. \right), \\ \sigma_{\theta\theta}^{(n)}(u_\alpha^{(l)}) &= \frac{1}{2} \left(c_{13}(\partial_z u_z^{(l)})^2 + 2c_{13}r^{-1}u_r^{(l)}\partial_z u_r^{(l)} + c_{12}(\partial_z u_r^{(l)})^2 + 3c_{11}r^{-2}(u_r^{(l)})^2 + \right. \\ &+ c_{11}(\partial_z u_\theta^{(l)})^2 + c_{11}r^{-2}(u_\theta^{(l)})^2 + c_{13}(\partial_r u_z^{(l)})^2 + 2c_{12}r^{-1}u_r^{(l)}\partial_r u_r^{(l)} + \\ &+ c_{12}(\partial_r u_r^{(l)})^2 - (c_{11} - c_{12})r^{-1}u_\theta^{(l)}\partial_r u_\theta^{(l)} + c_{11}(\partial_r u_\theta^{(l)})^2 \left. \right), \\ \sigma_{zz}^{(n)}(u_\alpha^{(l)}) &= \frac{1}{2} \left(3c_{33}(\partial_z u_z^{(l)})^2 + 2c_{13}r^{-1}u_r^{(l)}\partial_z u_z^{(l)} + (c_{13} + 2c_{44})(\partial_z u_r^{(l)})^2 + \right. \\ &+ c_{13}r^{-2}(u_r^{(l)})^2 + (c_{13} + 2c_{44})(\partial_z u_\theta^{(l)})^2 + c_{13}r^{-2}(u_\theta^{(l)})^2 + c_{44}\partial_z u_r^{(l)}\partial_r u_z^{(l)} + \\ &+ c_{33}(\partial_r u_z^{(l)})^2 + 2c_{13}\partial_z u_z^{(l)}\partial_r u_r^{(l)} + c_{13}(\partial_r u_r^{(l)})^2 + c_{13}(\partial_r u_\theta^{(l)})^2 \left. \right), \\ \sigma_{r\theta}^{(n)}(u_\alpha^{(l)}) &= \frac{1}{2} \left((c_{12} - c_{11})\partial_z u_r^{(l)}\partial_z u_\theta^{(l)} + (c_{12} - c_{11})r^{-2}u_r^{(l)}u_\theta^{(l)} + 2c_{44}\partial_z u_\theta^{(l)}\partial_r u_z^{(l)} + \right. \\ &+ (c_{12} - c_{11})r^{-1}u_\theta^{(l)}\partial_r u_r^{(l)} + 2c_{13}\partial_z u_z^{(l)}\partial_r u_\theta^{(l)} + 2c_{11}r^{-1}u_r^{(l)}\partial_r u_\theta^{(l)} + 2c_{11}\partial_r u_r^{(l)}\partial_r u_\theta^{(l)} \left. \right), \\ \sigma_{rz}^{(n)}(u_\alpha^{(l)}) &= c_{44}\partial_z u_z^{(l)}\partial_z u_r^{(l)} + c_{33}\partial_z u_z^{(l)}\partial_r u_z^{(l)} + c_{13}r^{-1}u_r^{(l)}\partial_r u_z^{(l)} + \end{aligned}$$

$$\begin{aligned}
 & +c_{44}\partial_z u_r^{(l)}\partial_r u_\theta^{(l)} + (c_{13} + 2c_{44})\partial_r u_z^{(l)}\partial_r u_r^{(l)} + c_{44}\partial_z u_\theta^{(l)}\partial_r u_\theta^{(l)}, \\
 \sigma_{\theta z}^{(n)}(u_\alpha^{(l)}) & = c_{44}\partial_z u_z^{(l)}\partial_z u_\theta^{(l)} - c_{44}r^{-1}u_\theta^{(l)}\partial_r u_z^{(l)} + c_{44}\partial_r u_z^{(l)}\partial_r u_\theta^{(l)}, \\
 \sigma_{\theta r}^{(n)}(u_\alpha^{(l)}) & = \frac{1}{2}\left(-2c_{13}r^{-1}u_\theta^{(l)}\partial_z u_z^{(l)} + (c_{12} - c_{11})\partial_z u_r^{(l)}\partial_z u_\theta^{(l)} - 2c_{11}r^{-2}u_r^{(l)}u_\theta^{(l)}\right. \\
 & \quad \left.- 2c_{11}r^{-1}u_\theta^{(l)}\partial_r u_r^{(l)} + (c_{11} - c_{12})r^{-1}u_r^{(l)}\partial_r u_\theta^{(l)} + (c_{11} - c_{12})\partial_r u_r^{(l)}\partial_r u_\theta^{(l)}\right), \\
 \sigma_{zr}^{(n)}(u_\alpha^{(l)}) & = \frac{1}{2}\left(2(c_{13} + 2c_{44})\partial_z u_z^{(l)}\partial_z u_r^{(l)} + 2c_{12}r^{-1}(\partial_z u_r^{(l)})^2 + (c_{12} - c_{11})r^{-1}(\partial_z u_r^{(l)})^2 +\right. \\
 & \quad \left.+ 2c_{44}\partial_z u_z^{(l)}\partial_r u_z^{(l)} + 2c_{11}\partial_z u_r^{(l)}\partial_r u_r^{(l)} + 2c_{44}\partial_r u_z^{(l)}\partial_r u_r^{(l)} + (c_{11} - c_{12})\partial_z u_r^{(l)}\partial_r u_\theta^{(l)}\right), \\
 \sigma_{z\theta}^{(n)}(u_\alpha^{(l)}) & = \frac{1}{2}\left(2(c_{13} + 2c_{44})\partial_z u_z^{(l)}\partial_z u_\theta^{(l)} + (c_{11} + c_{12})r^{-1}u_r^{(l)}u_\theta^{(l)} +\right. \\
 & \quad \left.+ 2c_{12}\partial_z u_\theta^{(l)}\partial_r u_r^{(l)} + (c_{11} - c_{12})\partial_z u_r^{(l)}\partial_r u_\theta^{(l)} + 2c_{44}\partial_r u_z^{(l)}\partial_r u_\theta^{(l)}\right). \tag{2}
 \end{aligned}$$

В соотношениях (1), (2) величины c_{ij} являются упругими постоянными второго порядка для трансверсально-изотропного материала цилиндра; $\partial_\alpha = \partial/\partial\alpha$ ($\alpha = r, \theta, z$). Подстановка общих представлений для компонентов тензора напряжений $\sigma_{\alpha\beta}(u_\alpha)$ в виде сумм линейных и квадратичных членов по степеням параметра δ в уравнения движения

$$\begin{aligned}
 r^{-1}\partial_r(r\sigma_{rr}) + r^{-1}\partial_\theta\sigma_{r\theta} + \partial_z\sigma_{rz} - r^{-1}\sigma_{\theta\theta} - \delta(\rho R_*^2/c_*)\partial_t^2 u_r & = 0, \\
 r^{-1}\partial_r(r\sigma_{\theta r}) + r^{-1}\partial_\theta\sigma_{\theta\theta} + \partial_z\sigma_{\theta z} - r^{-1}\sigma_{r\theta} - \delta(\rho R_*^2/c_*)\partial_t^2 u_\theta & = 0, \\
 r^{-1}\partial_r(r\sigma_{zr}) + r^{-1}\partial_\theta\sigma_{z\theta} + \partial_z\sigma_{zz} - \delta(\rho R_*^2/c_*)\partial_t^2 u_z & = 0, \tag{3}
 \end{aligned}$$

а также в граничные условия закрепления боковой поверхности цилиндра

$$(u_r)_{r=1} = (u_\theta)_{r=1} = (u_z)_{r=1} = 0 \tag{4}$$

с последующим приравнованием слагаемых одинакового порядка малости по степеням малого параметра δ в рассматриваемом случае приводит к следующей рекуррентной последовательности краевых задач определения амплитудных составляющих для комплексных функций перемещений $u_\alpha^{(l)}$ и $u_\alpha^{(n)}$

$$\begin{aligned}
 r^{-1}\partial_r(r\sigma_{rr}^{(l)}(u_r^{(l)}, u_\theta^{(l)}, u_z^{(l)})) + r^{-1}\partial_\theta\sigma_{r\theta}^{(l)}(u_r^{(l)}, u_\theta^{(l)}, u_z^{(l)}) + \\
 + \partial_z\sigma_{rz}^{(l)}(u_r^{(l)}, u_\theta^{(l)}, u_z^{(l)}) - r^{-1}\sigma_{\theta\theta}^{(l)}(u_r^{(l)}, u_\theta^{(l)}, u_z^{(l)}) - (\rho R_*^2/c_*)\partial_t^2 u_r^{(l)} & = 0, \\
 r^{-1}\partial_r(r\sigma_{\theta r}^{(l)}(u_r^{(l)}, u_\theta^{(l)}, u_z^{(l)})) + r^{-1}\partial_\theta\sigma_{\theta\theta}^{(l)}(u_r^{(l)}, u_\theta^{(l)}, u_z^{(l)}) + \\
 + \partial_z\sigma_{\theta z}^{(l)}(u_r^{(l)}, u_\theta^{(l)}, u_z^{(l)}) - r^{-1}\sigma_{r\theta}^{(l)}(u_r^{(l)}, u_\theta^{(l)}, u_z^{(l)}) - (\rho R_*^2/c_*)\partial_t^2 u_\theta^{(l)} & = 0, \\
 r^{-1}\partial_r(r\sigma_{zr}^{(l)}(u_r^{(l)}, u_\theta^{(l)}, u_z^{(l)})) + r^{-1}\partial_\theta\sigma_{z\theta}^{(l)}(u_r^{(l)}, u_\theta^{(l)}, u_z^{(l)}) + \\
 + \partial_z\sigma_{zz}^{(l)}(u_r^{(l)}, u_\theta^{(l)}, u_z^{(l)}) - (\rho R_*^2/c_*)\partial_t^2 u_z^{(l)} & = 0; \tag{5}
 \end{aligned}$$

$$(u_r^{(l)})_{r=1} = (u_\theta^{(l)})_{r=1} = (u_z^{(l)})_{r=1} = 0; \tag{6}$$

$$\begin{aligned}
 r^{-1}\partial_r(r\sigma_{rr}^{(n)}(u_r^{(l)}, u_\theta^{(l)}, u_z^{(l)})) + r^{-1}\partial_\theta\sigma_{r\theta}^{(n)}(u_r^{(l)}, u_\theta^{(l)}, u_z^{(l)}) + \partial_z\sigma_{rz}^{(n)}(u_r^{(l)}, u_\theta^{(l)}, u_z^{(l)}) - \\
 - r^{-1}\sigma_{\theta\theta}^{(n)}(u_r^{(l)}, u_\theta^{(l)}, u_z^{(l)}) - (\rho R_*^2/c_*)\partial_t^2 u_r^{(n)} = -\left(r^{-1}\partial_r(r\sigma_{rr}^{(n)}(u_r^{(l)}, u_\theta^{(l)}, u_z^{(l)})) +\right. \\
 \left.+ r^{-1}\partial_\theta\sigma_{r\theta}^{(n)}(u_r^{(l)}, u_\theta^{(l)}, u_z^{(l)}) + \partial_z\sigma_{rz}^{(n)}(u_r^{(l)}, u_\theta^{(l)}, u_z^{(l)}) - r^{-1}\sigma_{\theta\theta}^{(n)}(u_r^{(l)}, u_\theta^{(l)}, u_z^{(l)})\right),
 \end{aligned}$$

$$\begin{aligned}
 & r^{-1} \partial_r \left(r \sigma_{\theta r}^{(l)} \left(u_r^{(l)}, u_\theta^{(l)}, u_z^{(l)} \right) \right) + r^{-1} \partial_\theta \sigma_{\theta\theta}^{(l)} \left(u_r^{(l)}, u_\theta^{(l)}, u_z^{(l)} \right) + \partial_z \sigma_{\theta z}^{(l)} \left(u_r^{(l)}, u_\theta^{(l)}, u_z^{(l)} \right) + \\
 & - r^{-1} \sigma_{r\theta}^{(l)} \left(u_r^{(l)}, u_\theta^{(l)}, u_z^{(l)} \right) - (\rho R_*^2 / c_*) \partial_t^2 u_\theta^{(n)} = - \left(r^{-1} \partial_r \left(r \sigma_{\theta r}^{(n)} \left(u_r^{(l)}, u_\theta^{(l)}, u_z^{(l)} \right) \right) + \right. \\
 & \left. + r^{-1} \partial_\theta \sigma_{\theta\theta}^{(n)} \left(u_r^{(l)}, u_\theta^{(l)}, u_z^{(l)} \right) + \partial_z \sigma_{\theta z}^{(n)} \left(u_r^{(l)}, u_\theta^{(l)}, u_z^{(l)} \right) - r^{-1} \sigma_{r\theta}^{(n)} \left(u_r^{(l)}, u_\theta^{(l)}, u_z^{(l)} \right) \right), \\
 & r^{-1} \partial_r \left(r \sigma_{zr}^{(l)} \left(u_r^{(l)}, u_\theta^{(l)}, u_z^{(l)} \right) \right) + r^{-1} \partial_\theta \sigma_{z\theta}^{(l)} \left(u_r^{(l)}, u_\theta^{(l)}, u_z^{(l)} \right) + \partial_z \sigma_{zz}^{(l)} \left(u_r^{(l)}, u_\theta^{(l)}, u_z^{(l)} \right) - (\rho R_*^2 / c_*) \partial_t^2 u_z^{(n)} = \\
 & = - \left(r^{-1} \partial_r \left(r \sigma_{zr}^{(n)} \left(u_r^{(l)}, u_\theta^{(l)}, u_z^{(l)} \right) \right) + r^{-1} \partial_\theta \sigma_{z\theta}^{(n)} \left(u_r^{(l)}, u_\theta^{(l)}, u_z^{(l)} \right) + \partial_z \sigma_{zz}^{(n)} \left(u_r^{(l)}, u_\theta^{(l)}, u_z^{(l)} \right) \right); \quad (7)
 \end{aligned}$$

$$\left(u_r^{(n)} \right)_{r=1} = \left(u_\theta^{(n)} \right)_{r=1} = \left(u_z^{(n)} \right)_{r=1} = 0. \quad (8)$$

В случае определения вторых гармоник для осесимметричных нормальных волн кручения с круговой частотой ω в закрепленном цилиндре после введения исходных представлений

$$\begin{aligned}
 u_\theta^{(l)} &= u_\theta^{(0,l)}(r) \exp(-i(\omega t - kz)), \quad u_r^{(l)} = u_z^{(l)} = 0, \\
 u_\alpha^{(n)} &= u_\alpha^{(0,n)}(r) \exp(-2i(\omega t - kz)) \quad (\alpha = r, \theta, z), \quad (9)
 \end{aligned}$$

задача сводится к нахождению амплитудных составляющих $u_\theta^{(0,l)}(r)$, $u_\alpha^{(0,n)}(r)$ из граничных задач

$$r^2 \left(u_\theta^{(0,l)} \right)'' + r \left(u_\theta^{(0,l)} \right)' + \left((\beta r)^2 - 1 \right) u_\theta^{(0,l)} = 0, \quad (10)$$

$$u_\theta^{(0,l)}(1) = 0; \quad (11)$$

$$\begin{aligned}
 & \Delta_{11}^{(1)} u_r^{(0,n)} + \Delta_{12}^{(1)} r^{-2} u_r^{(0,n)} + \Delta_{13}^{(1)} r^{-1} \left(u_r^{(0,n)} \right)' + \Delta_{14}^{(1)} \left(u_z^{(0,n)} \right)' + \Delta_{15}^{(1)} \left(u_r^{(0,n)} \right)'' = \\
 & = \Delta_{11}^{(2)} r^{-3} \left(u_\theta^{(0,l)} \right)^2 + \Delta_{12}^{(2)} r^{-1} \left(u_\theta^{(0,l)} \right)^2 + \Delta_{13}^{(2)} u_\theta^{(0,l)} \left(u_\theta^{(0,l)} \right)' + \Delta_{14}^{(2)} r^{-2} u_\theta^{(0,l)} \left(u_\theta^{(0,l)} \right)' + \\
 & \Delta_{15}^{(2)} r^{-1} \left(\left(u_\theta^{(0,l)} \right)' \right)^2 + \Delta_{16}^{(2)} r^{-1} u_\theta^{(0,l)} \left(u_\theta^{(0,l)} \right)'' + \Delta_{17}^{(2)} \left(u_\theta^{(0,l)} \right)' \left(u_\theta^{(0,l)} \right)'', \\
 & \Delta_{21}^{(1)} u_z^{(0,n)} + \Delta_{22}^{(1)} r^{-1} u_r^{(0,n)} + \Delta_{23}^{(1)} \left(u_r^{(0,n)} \right)' + \Delta_{24}^{(1)} r^{-1} \left(u_z^{(0,n)} \right)' + \Delta_{25}^{(1)} \left(u_z^{(0,n)} \right)'' = \Delta_{21}^{(2)} \left(u_\theta^{(0,l)} \right)^2 + \\
 & + \Delta_{22}^{(2)} r^{-2} \left(u_\theta^{(0,l)} \right)^2 + \Delta_{23}^{(2)} r^{-1} u_\theta^{(0,l)} \left(u_\theta^{(0,l)} \right)' + \Delta_{24}^{(2)} \left(\left(u_\theta^{(0,l)} \right)' \right)^2 + \Delta_{25}^{(2)} u_\theta^{(0,l)} \left(u_\theta^{(0,l)} \right)''; \quad (12)
 \end{aligned}$$

$$u_r^{(0,n)}(1) = u_z^{(0,n)}(1) = 0. \quad (13)$$

В соотношениях (10), (12) введены обозначения $\beta = \sqrt{\Omega^2 - 2c_{44}k^2 / (c_{11} - c_{12})}$ и $\Delta_{ij}^{(p)}$ для постоянных коэффициентов, выражаемых через упругие постоянные материала цилиндра, параметры приведенной частоты и нормированного волнового числа следующими представлениями:

$$\Delta_{11}^{(1)} = \Omega^2 - c_{44}k^2, \quad \Delta_{12}^{(1)} = -c_{11}, \quad \Delta_{13}^{(1)} = c_{11}, \quad \Delta_{14}^{(1)} = ik(c_{13} + c_{44}), \quad \Delta_{15}^{(1)} = c_{11}, \quad \Delta_{11}^{(2)} = c_{11},$$

$$\Delta_{12}^{(2)} = k^2(c_{12} - c_{11})/2, \quad \Delta_{13}^{(2)} = k^2(c_{12} + c_{44})/2, \quad \Delta_{14}^{(2)} = (c_{12} - 3c_{11})/2,$$

$$\Delta_{15}^{(2)} = (c_{11} - c_{12})/2, \quad \Delta_{16}^{(2)} = (c_{11} - c_{12})/2, \quad \Delta_{17}^{(2)} = -c_{11}, \quad \Delta_{21}^{(1)} = \Omega^2 - c_{33}k^2, \quad \Delta_{22}^{(1)} = ik(c_{13} + c_{44}),$$

$$\Delta_{23}^{(1)} = ik(c_{13} + c_{44}), \quad \Delta_{24}^{(1)} = c_{44}, \quad \Delta_{25}^{(1)} = c_{44}, \quad \Delta_{21}^{(2)} = ik^3(c_{44} - c_{13}/2), \quad \Delta_{22}^{(2)} = -ic_{13}k/2,$$

$$\Delta_{23}^{(2)} = ik(c_{11} - c_{12})/2, \quad \Delta_{24}^{(2)} = ik(c_{12} - c_{11} - c_{13})/2, \quad \Delta_{25}^{(2)} = ik(c_{12} - c_{11})/2,$$

где $\Omega = \sqrt{2\rho\omega^2 / (c_{11} - c_{12})}$.

Базисные решения задачи первого приближения (10), (11), описывающие моды крутильных волн с номером p , имеют вид

$$u_{\theta}^{(0,l)}(r) = u^{(0)} \beta_p^* J_1(\beta_p^* r), \quad \beta_p^* = \sqrt{\beta_p^2 - 2c_{44}k^2 / (c_{11} - c_{12})},$$

где β_p ($p = \overline{1, \infty}$) – корни трансцендентного дисперсионного уравнения $J_1(\beta) = 0$.

Структура соотношений краевой задачи (12), (13) показывает, что искомые вторые гармоники априори являются осесимметричными волнами продольно-сдвигового типа с удвоенной частотой. Частные решения системы неоднородных дифференциальных уравнений (12) получены на основе замены их правых частей представлениями в виде степенных рядов по переменной r с использованием абсолютно сходящихся степенных разложений для входящих в выражение $u_{\theta}^{(0,l)}(r)$ цилиндрических функций Бесселя первого рода, в результате которой система (12) принимает вид

$$\begin{aligned} \Delta_{11}^{(1)} u_r^{(0,n)} + \Delta_{12}^{(1)} r^{-2} u_r^{(0,n)} + \Delta_{13}^{(1)} r^{-1} (u_r^{(0,n)})' + \Delta_{14}^{(1)} (u_z^{(0,n)})' + \Delta_{15}^{(1)} (u_r^{(0,n)})'' &= (u^{(0)})^2 \sum_{p=1}^{\infty} \alpha_p r^p \\ \Delta_{21}^{(1)} u_z^{(0,n)} + \Delta_{22}^{(1)} r^{-1} u_r^{(0,n)} + \Delta_{23}^{(1)} (u_r^{(0,n)})' + \Delta_{24}^{(1)} r^{-1} (u_z^{(0,n)})' + \Delta_{25}^{(1)} (u_z^{(0,n)})'' &= (u^{(0)})^2 \sum_{p=1}^{\infty} \beta_p r^p. \end{aligned} \quad (14)$$

Для коэффициентов α_p и β_p в представлениях (14) получены крайне громоздкие аналитические представления. Таким образом, полное решение системы дифференциальных уравнений (12) может быть записано в виде

$$\begin{aligned} u_r^{(n)} &= \left(-A_1 \xi_1 J_1(\xi_1 r) - A_2 \xi_2 J_1(\xi_2 r) + (u^{(0)})^2 F_1(r) \right) \exp(-2i(\omega t - kz)), \\ u_z^{(n)} &= \left(A_1 \eta_1 J_0(\xi_1 r) + A_2 \eta_2 J_0(\xi_2 r) + (u^{(0)})^2 F_2(r) \right) \exp(-2i(\omega t - kz)), \end{aligned} \quad (15)$$

где

$$\xi_j = \sqrt{\left(-B - (-1)^j \sqrt{B^2 - 4AC} \right) / (2A)}, \quad \eta_j = \left(ik \xi_j^2 (c_{13} + c_{44}) \right) / \left(\Omega^2 - c_{33}k^2 - c_{44}\xi_j^2 \right) \quad (j = 1, 2),$$

$$A = c_{11}c_{44}, \quad B = -(c_{11} + c_{44})\Omega^2 - (c_{13}^2 + 2c_{13}c_{44} - c_{11}c_{33}k^2), \quad C = (\Omega^2 - c_{33}k^2)(\Omega^2 - c_{44}k^2);$$

A_j – произвольные постоянные коэффициенты; $F_j(r)$ – частные решения системы уравнений (12),

представляемых в виде рядов $F_1(r) = \sum_{p=1}^{\infty} a_p r^p$, $F_2(r) = \sum_{p=1}^{\infty} b_p r^p$, с определяемыми из рекуррентных

формул коэффициентами

$$a_1 = \frac{\alpha_1}{\Delta_{13}^{(n)}}, \quad b_1 = \frac{\beta_1}{\Delta_{23}^{(n)}}, \quad a_2 = \frac{\alpha_2 - b_1 \Delta_{14}^{(n)}}{\Delta_{12}^{(n)} + 2\Delta_{13}^{(n)} + 2\Delta_{15}^{(n)}}, \quad b_2 = \frac{\beta_2 - a_1 (\Delta_{22}^{(n)} - \Delta_{24}^{(n)})}{2\Delta_{23}^{(n)} + 2\Delta_{25}^{(n)}},$$

$$b_{p+2} = \left(\beta_{p+2} - \Delta_{21}^{(n)} b_p - \Delta_{22}^{(n)} a_{p+1} - \Delta_{24}^{(n)} (p+1) a_{p+1} \right) / \left(\Delta_{23}^{(n)} (p+2) + \Delta_{25}^{(n)} (p+1)(p+2) \right),$$

$$a_{p+2} = \left(\alpha_{p+2} - \Delta_{11}^{(n)} a_p - \Delta_{14}^{(n)} (p+1) b_{p+1} \right) / \left(\Delta_{12}^{(n)} + \Delta_{13}^{(n)} (p+2) + \Delta_{15}^{(n)} (p+1)(p+2) \right) \quad (p = \overline{1, \infty}).$$

В результате подстановки представлений (15) в краевые условия (13), в предположении о том, что точки $(2k, 2\Omega)$ не принадлежат какой-либо из мод дисперсионного спектра линейных осесимметричных нормальных волн продольно-сдвигового типа в закрепленном по боковой поверхности цилиндре, определяются коэффициенты A_j в следующем виде:

$$\begin{aligned} A_1 &= (u^0)^2 \frac{\chi_{12} F_2(R) - \chi_{22} F_1(R)}{\chi_{11} \chi_{22} - \chi_{12} \chi_{21}}, \quad A_2 = (u^0)^2 \frac{\chi_{21} F_1(R) - \chi_{11} F_2(R)}{\chi_{11} \chi_{22} - \chi_{12} \chi_{21}}, \\ \chi_{11} &= -\xi_1 J_1(\xi_1 r), \quad \chi_{12} = \xi_2 J_1(\xi_2 r), \quad \chi_{21} = \eta_1 J_0(\xi_1 r), \quad \chi_{22} = \eta_2 J_0(\xi_2 r). \end{aligned} \quad (16)$$

Таким образом, получена аналитическая форма представлений комплексных функций волновых перемещений в геометрически нелинейных вторых гармониках монохроматических осесимметричных нормальных волн кручения, позволяющая провести анализ ряда амплитудно-частотных эффектов в ангармонических возмущениях.

Результаты численных исследований. В качестве исследуемых кинематических характеристик для вторых гармоник осесимметричных монохроматических нормальных волн кручения в данной работе рассматриваются параметрические частотные изменения в зависимостях распределений нормированных амплитудных значений волновых перемещений в анализируемых ангармонических возмущениях вдоль радиальной координаты в области сечения волновода. Представляемые на рис. 1 – рис. 4 и анализируемые ниже результаты расчетов относятся к случаям распространения крутильных волн с варьируемой относительной длиной $\tilde{\lambda} = 2\pi/(\tilde{k}R)$ из двух низших действительных ветвей дисперсионных спектров в цилиндрах из титаната бария, титаната-цирконата свинца и монокристаллического цинка с физико-механическими характеристиками, приведенными в работе [4]. Зависимости для указанных материалов соответственно представлены на рисунках сплошными, пунктирными и точечно-пунктирными линиями.

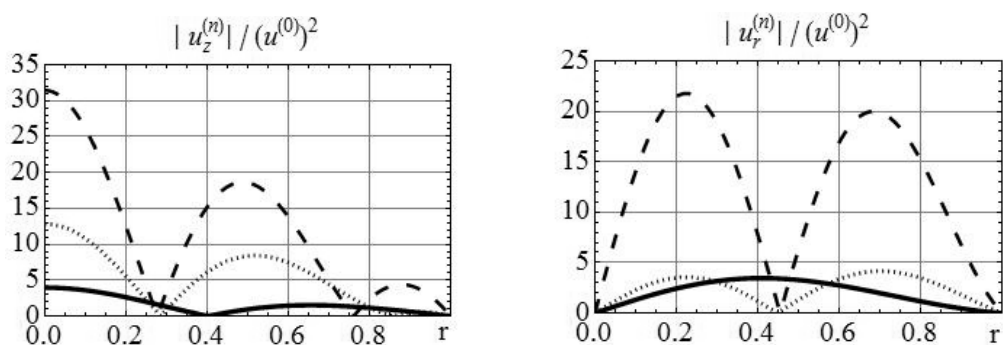


Рис. 1. Распределение амплитудных характеристик волновых смещений во вторых нелинейных гармониках волн кручения с относительной длиной $\tilde{\lambda} = 1$ из первой моды для цилиндров с закрепленной границей

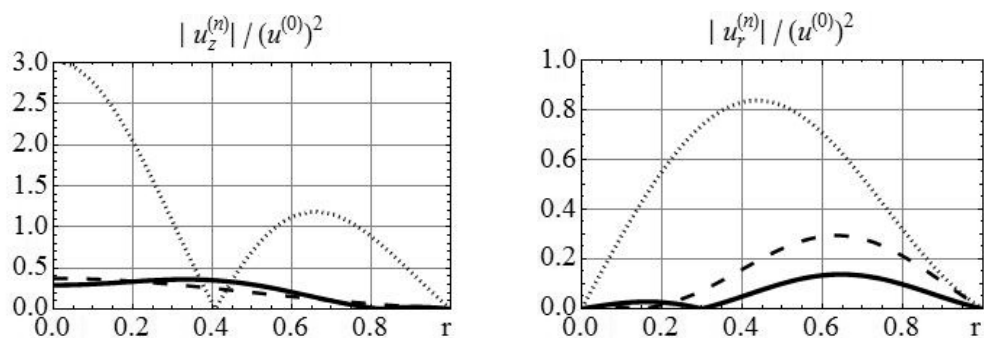


Рис.2. Распределение амплитудных характеристик волновых смещений во вторых нелинейных гармониках волн кручения с относительной длиной $\tilde{\lambda} = 4$ из первой моды для цилиндров с закрепленной границей

Как показывает сопоставление распределений, приведенных на рис. 1 и рис. 2 для случаев распространения относительно коротких $\tilde{\lambda} = 1$ и относительно длинных $\tilde{\lambda} = 4$ нормальных волн кручения из нижней действительной моды дисперсионных спектров для рассматриваемых цилиндров, увеличение относительной длины ведет к существенному, составляющему более порядка снижению амплитудных максимумов в ангармонических возмущениях. Если для волн с $\tilde{\lambda} = 1$ наибольшими являются нормированные амплитуды вторых гармоник в цилиндре из титаната-цирконата свинца, то для волн с $\tilde{\lambda} = 4$ существенно доминируют по величине амплитуды вторых гармоник в цилиндре из цинка. Преимущественно продольными являются вторые гармоники относительно коротких волн в цилиндре из цинка и относительно длинных волн в цилиндре из титаната-цирконата свинца. Во всех остальных представленных на рис. 1 и рис. 2 случаях радиальная и осевая компоненты вторых гармоник имеют сопоставимые величины. Для обоих вариантов относительной длины характерно низкими являются амплитудные уровни ангармонических возмущений в цилиндре из титаната бария. Можно также указать на эффект появления дополнительной узловой линии в радиальных амплитудных распределениях волновых перемещений во вторых гармониках для цилиндров из титаната-цирконата свинца и цинка по сравнению со случаем цилиндра из титаната бария.

Радиальные распределения нормированных амплитудных значений волновых перемещений в анализируемых ангармонических возмущениях для волн кручения из вторых мод дисперсионных спектров рассматриваемых цилиндров представлены на рис. 3 и рис. 4. В случае коротких волн доминирующими по величине являются вторые гармоники в цилиндре из цинка, имеющие преимущественно продольный тип. В случае же относительно длинных волн общий уровень амплитудных максимумов, как и в предыдущем случае, снижается практически на порядок и отсутствует выраженное доминирование амплитудных максимумов для какого-либо из рассматриваемых цилиндров.

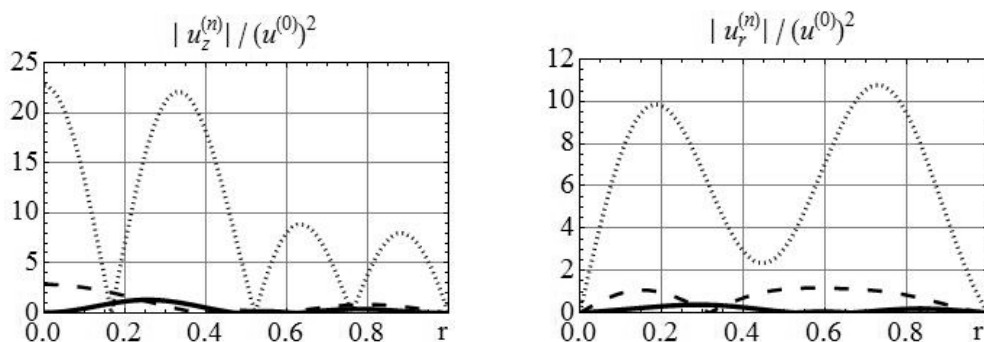


Рис.3. Распределение амплитудных характеристик волновых смещений во вторых нелинейных гармониках волн кручения с относительной длиной $\tilde{\lambda} = 1$ из второй моды для цилиндров с закрепленной границей

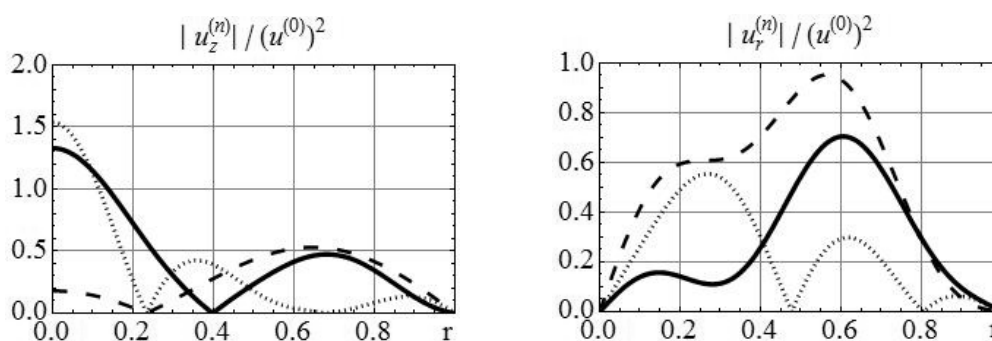


Рис.4. Распределение амплитудных характеристик волновых смещений во вторых нелинейных гармониках волн кручения с относительной длиной $\tilde{\lambda} = 4$ из второй моды для цилиндров с закрепленной границей

Выводы. В статье представлена разработка теоретической численно-аналитической методики исследования свойств нелинейных вторых гармоник, генерируемых при распространении монохроматических осесимметричных нормальных упругих волн кручения вдоль направления оси в трансверсально-изотропном цилиндре кругового сечения с закрепленной боковой поверхностью в рамках модели геометрически нелинейного деформирования с использованием квадратичного упругого потенциала и теории конечных деформаций. Представления для волновых упругих перемещений во вторых гармониках, представляющих собой осесимметричные упругие волны продольно-сдвигового типа, получены на основе метода малого параметра в аналитической форме. Проведен частотный параметрический анализ амплитуд и форм волновых движений во вторых гармониках для нормальных волн исследуемого типа в цилиндрах из титаната бария, титаната - цирконата свинца и монокристаллического цинка. Дано описание ряда закономерностей в зависимостях максимумов амплитуд нелинейных вторых гармоник от параметра относительной длины нормальной волны кручения и фактора ее принадлежности к конкретной моде дисперсионного спектра, а также от типа материала цилиндра.

СПИСОК ЛИТЕРАТУРЫ

1. Лямов В. Е. Поляризационные эффекты и анизотропия взаимодействия акустических волн в кристаллах / В. Е. Лямов. – М.: Изд-во Моск. ун-та, 1983. – 224 с.
2. Зарембо Л. К. Нелинейная акустика / Л. К. Зарембо, В. И. Тимошенко. – М.: Изд-во МГУ, 1984. – 104 с.
3. Красильников В. А. Введение в физическую акустику / В. А. Красильников, В. В. Крылов. – М.: Наука, 1984. – 400 с.
4. Космодамианский А. С. Динамические задачи теории упругости для анизотропных сред / А. С. Космодамианский, В. И. Сторожев. – К.: Наук. думка, 1985. – 176 с.

5. Рушицький Я. Я. Особливості розвитку теорії пружних нелінійних хвиль / Я. Я. Рушицький // Мат. методи та фіз.-мех. поля. – 2003. – Т. 46, № 1. – С. 90–105.
6. Rushchitsky J. J. Quadratically Nonlinear Cylindrical Hyperelastic Waves: Derivation of Wave Equations for Plane-Strain State / J. J. Rushchitsky // Int. Appl. Mech. – 2005. – Vol. 41, No 5. – P. 496–505.
7. Rushchitsky J. J. Analysis of a Quadratically Nonlinear Hyperelastic Plane Longitudinal Wave / J. J. Rushchitsky // Int. Appl. Mech. – 2009. – Vol. 45, No 2. – P. 148–158.
8. Куренная К. И. Вторые гармоники нелинейных нормальных SH-волн в пластине из монокристалла германия / К. И. Куренная, В. И. Сторожев // Теорет. и прикл. механика. – 2002. – Вып. 35. – С. 131–138.
9. Куренная К. И. Ангармонические эффекты при распространении нелинейных нормальных P-SV волн в анизотропном упругом слое / К. И. Куренная, В. И. Сторожев // Теорет. и прикл. механика. – 2002. – Вып. 36. – С. 116–124.
10. Kurennaaya K. I. Analyses of nonlinear ultraacoustic wave properties in germanium monocrystal layer / K. I. Kurennaaya, V. I. Storozhev // J. Computational and Applied Mechanics. – 2005. – Vol. 6, No 1. – P. 67–82.
11. Kurennaaya K. I. Nonlinear acoustic effects while spreading of the normal waves in anisotropic elastic layer / K. I. Kurennaaya, V. I. Storozhev // Proceedings of the Tenth International Congress on Sound and Vibration (Stockholm, Sweden, 7-10 July 2003). – Stockholm, IAAV, 2003. – P. 3605–3612.
12. Куслива А. О. Нелінійні ефекти при розповсюдженні монохроматичних пружних SH хвиль в анізотропному шарі з гнучкими нерозтяжними покриттями граней / А. О. Куслива // Вісн. Донец. ун-ту. Сер. А: Природн. науки. – 2008. – Вип. 2. – С. 81–87.
13. Кусливая А. А. Нелинейные эффекты при распространении нормальных P-SV волн в слое со скользящей заделкой граней / А. А. Кусливая, В. И. Сторожев // Проблемы обчислювальної механіки і міцності конструкцій. – 2010. – Вип. 14. – С. 313–319.
14. Sugimoto N. Nonlinear mode coupling of elastic waves / N. Sugimoto, M. Hirao // J. Acoust. Soc. Am. – 1977. – Vol. 62, No 1. – P. 23–32.
15. Sugimoto N. Numerical investigation of nonlinear mode coupling of elastic waves / N. Sugimoto // J. Acoust. Soc. Am. – 1978. – Vol. 64, No 4. – P. 1190–1195.
16. Елагин А. В. Кинематические свойства нелинейных вторых гармоник нормальных волн кручения в цилиндрическом волноводе / А. В. Елагин, В. И. Сторожев // Актуальные проблемы механики деформированного твердого тела: Материалы VI Международной научной конференции. – Донецк, 2010. – С. 141–145.
17. Yelagin A. V. Nonlinear second harmonics axisymmetric waves of torsion in a cylindrical waveguide with a clamped surface / A. V. Yelagin, V. I. Storozhev // Проблемы обчислювальної механіки і міцності конструкцій. – 2010. – Вип. 14. – С. 347–353.
18. Єлагін О. В. Нелінійні ангармонічні збудження при розповсюдженні осесиметричних поздовжньо-зсувних нормальних хвиль в пружному циліндрі / О. В. Єлагін, В. І. Сторожев // Вісн. Донец. нац. ун-ту. Сер. А: Природн. науки. – 2010. – Вип. 2. – С. 77–83.
19. Сторожев В. И. Влияние типа краевых условий на уровни вторых гармоник осесимметричных нормальных волн кручения в цилиндре / А. В. Елагин, В. И. Сторожев // Проблемы обчислювальної механіки і міцності конструкцій. – 2012. – Вип. 20. – С. 315–324.

Поступила в редакцію 12.05.2014 г.

РЕЗЮМЕ

У статті представлено результати теоретичного чисельно-аналітичного дослідження властивостей нелінійних других гармонік, що генеруються при поширенні монохроматичних осесиметричних нормальних пружних хвиль кручення вздовж напрямку осі у трансверсально-ізотропному циліндрі кругового перерізу із закріпленою бічною поверхнею. Для циліндрів з титанату барію, титанату-цирконату свинцю та монокристалічного цинку проведено частотний параметричний аналіз амплітуд і форм хвильових рухів в других гармоніках для нормальних хвиль досліджуваного типу. Дано опис ряду закономірностей, властивих розглядуваному типу хвильових процесів.

Ключові слова: трансверсально-ізотропний циліндричний хвилевід, геометрична нелінійність, монохроматичні нормальні крутильні хвилі, нелінійні ангармонічних збудження, амплітудно-частотні характеристики других гармонік.

SUMMARY

In article are presented the theoretical numerical-analytical investigation of nonlinear second harmonics generated by the propagation of axisymmetric normal elastic torsion waves along the axial direction in an transversely isotropic cylinder of circular cross section with a fixed lateral surface. The forms and amplitudes of wave motion in geometrical nonlinear wave with variable relative lengths were analyzed for a cylinder made of ceramics of barium titanate, ceramics of plumbum titanate zirconate and of monocrystal zinc.

Keywords: transversely isotropic cylindrical waveguide, geometric nonlinearity, monochromatic normal torsion wave, nonlinear anharmonic perturbation, amplitude-frequency characteristics of the second harmonics.